

УДК 552.11 + 552.3

СИЛИКАТНЫЕ СИСТЕМЫ, ПРИБЛИЖЕННО МОДЕЛИРУЮЩИЕ ПРОЦЕССЫ МАГМАТИЧЕСКОГО ПЕТРОГЕНЕЗИСА

В.В.ДОЛИВО-ДОБРОВОЛЬСКИЙ

Существенной стороной физико-химической теории процессов магматического петрогенезиса является сопоставление данных по вещественному составу горных пород - членов природных ассоциаций - и экспериментальных данных по составу продуктов эволюции и кристаллизации расплавов в модельных силикатных системах. Один из методов такого сопоставления, предложенный А.Н.Заварицким [2], заключается в том, что для рассматриваемой модельной системы составы эволюционирующих в ходе кристаллизации расплавов пересчитываются на числовые характеристики и пути кристаллизации отображаются на диаграмме - проекции тетраэдра - так же, как химические составы магматических пород.

Самым А.Н.Заварицким такой пересчет был выполнен для нескольких силикатных систем, экспериментально изученных к концу 30-х годов. Уже эти первые результаты позволили ему привести важные аналогии путей кристаллизации в системах и эволюционных рядах в естественных ассоциациях вулканических пород. За прошедшее со времени публикации работы А.Н.Заварицкого время экспериментально изучен значительный ряд силикатных систем, имеющих значение для магматической петрологии, и приложение к ним указанной методики позволит нагляднее выявить закономерности, определяющие возможные пути дифференциации и эволюции магматических расплавов.

Системы, моделирующие процессы петрогенезиса магматических пород, отличаются значительной сложностью и большим числом компонентов. Даже если полностью отбросить все малые компоненты, для достаточно полного моделирования процессов магматической кристаллизации следовало бы обратиться к девятитрехкомпонентной системе $K_2O-Na_2O-CaO-MgO-FeO-Fe_2O_3-Al_2O_3-SiO_2-H_2O$.

Ввиду сложности указанной системы приходится прибегать к упрощению и уменьшению числа компонентов в модельных системах, что может быть достигнуто следующими способами:

I. Ограничением числа компонентов петрогенезисом. Исключение H_2O вносит довольно существенные изменения в ход кристаллизации, особенно для магматических систем, соответствующих породам среднего и кислого составов; для составов, соответствующих основным и ультраосновным породам, влияние менее значительно (в частности, обычные для этих пород оливины и пироксены не содержат в своем составе летучих компонентов и кристаллизуются из сухих расплавов).

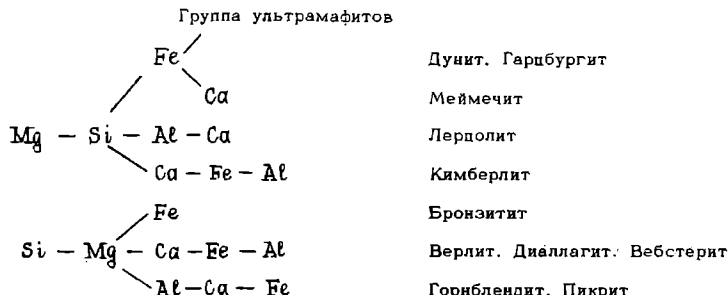
2. Ограничением окислительно-восстановительных условий (исключением одной из степеней окисления железа). Для систем, в которых отсутствуют щелочи, самостоятельной фазой, содержащей Fe_2O_3 , является в основном магнетит. В случае присутствия щелочей самостоятельное значение Fe_2O_3 возрастает (появление эгирина и других сложных по составу фаз) и системы с компонентом Fe_2O_3 приобретают особое значение при рассмотрении процессов в щелочных магмах.

3. Исключением изоморфных компонентов. Учитывая совершенный изоморфизм Mg^{2+} и Fe^{2+} в магматических системах, при рассмотрении субсолидусных соотношений и стачки равновесий с участием расплава можно, с известными оговорками, рассматривать чисто магнезиальные системы. Изоморфные отношения ярко проявлены в ряду плагиоклазов. Если Na_2O входит только в состав плагиоклаза, этот компонент можно исключить, условно заменяя плагиоклаз анортитом.

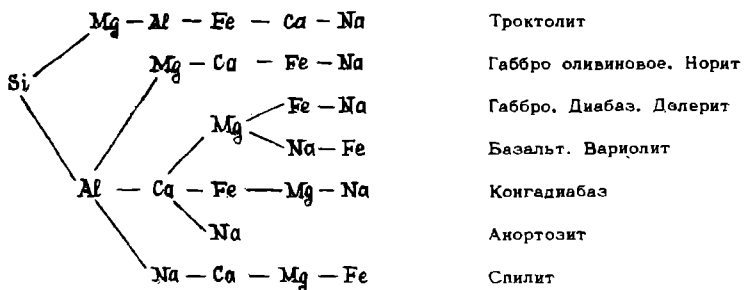
4. Ограничением составов лишь определенными химическими группами, соответствующими типичным породам выбранных магматических формаций. Такое ограничение может существенно упростить рассматриваемые системы и уменьшить число компонентов, оказывавших влияние на ход кристаллизации и образование главных минералов. Для иллюстрации этого ограничимся тремя петрохимическими группами магматических пород: ультраосновными породами, основными породами нормального ряда и основными породами щелочного ряда.

Особенности химизма горных пород для наших целей удобно представить с помощью ранговых формул, предложенных Т.Г.Петровым [4]. Мы будем использовать ранговые формулы несколько упрощенного вида, включая в них лишь те элементы, атомная доля которых в породе превышает 1 %. За исходные данные взяты средние составы горных пород СССР по С.П.Соловьеву [6]. Практически для получения сокращенной ранговой формулы целесообразно использовать петрохимические формулы горных пород, рассчитанные по А.А.Маракушеву на 50 атомов кислорода; коэффициенты в этих формулах достаточно близки к значениям атомных долей, выраженных в процентах [5].

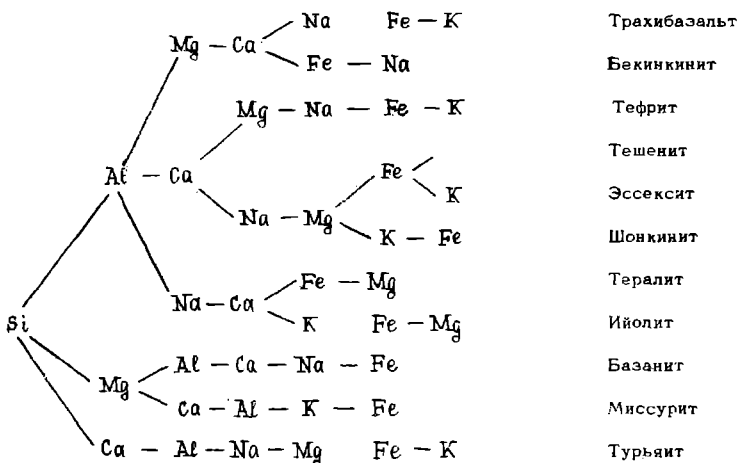
Для качественного сравнения составов горных пород определенной группы оказывается удобным не выписывать отдельно ранговые формулы каждой породы, а объединять общие члены этих формул с образованием ранговых графов - деревьев, как это показано ниже для трех групп, где каждая ветвь соответствует однай или нескольким породам:



Группа габбро - базальта



Группа щелочных габброидов и базальтоидов



Дерево группы ультраосновных пород показывает, что их составы могут быть отображены в рамках шестикомпонентной системы $\text{CaO} - \text{MgO} - \text{FeO} - \text{Fe}_2\text{O}_3 - \text{Al}_2\text{O}_3 - \text{SiO}_2$. Учитывая сказанное выше о возможных путях уменьшения числа компонентов в модельных системах, для этой группы скажутся существенными пятикомпонентные системы: $\text{CaO} - \text{MgO} - \text{FeO} - \text{Al}_2\text{O}_3 - \text{SiO}_2$, $\text{CaO} - \text{MgO} - \text{FeO} - \text{Fe}_2\text{O}_3 - \text{SiO}_2$, $\text{CaO} - \text{MgO} - \text{Fe}_2\text{O}_3 - \text{Al}_2\text{O}_3 - \text{SiO}_2$, и четырехкомпонентные системы: $\text{CaO} - \text{MgO} - \text{FeO} - \text{SiO}_2$, $\text{MgO} - \text{FeO} - \text{Fe}_2\text{O}_3 - \text{SiO}_2$, $\text{CaO} - \text{MgO} - \text{Al}_2\text{O}_3 - \text{SiO}_2$.

Для группы габбро - базальта полной моделью служит семикомпонентная система $\text{Na}_2\text{O} - \text{CaO} - \text{MgO} - \text{FeO} - \text{Fe}_2\text{O}_3 - \text{Al}_2\text{O}_3 - \text{SiO}_2$, из которой при аналогичных упрощениях можно прийти к пятикомпонентной $\text{Na}_2\text{O} - \text{CaO} - \text{MgO} - \text{Al}_2\text{O}_3 - \text{SiO}_2$ и четырехкомпонентным: $\text{CaO} - \text{MgO} - \text{Al}_2\text{O}_3 - \text{SiO}_2$, $\text{Na}_2\text{O} - \text{CaO} - \text{Al}_2\text{O}_3 - \text{SiO}_2$, $\text{Na}_2\text{O} - \text{MgO} - \text{Al}_2\text{O}_3 - \text{SiO}_2$.

Наконец, для щелочных габброидов и базальтоидов полная модель охватывается восемькомпонентной системой $\text{K}_2\text{O} - \text{Na}_2\text{O} - \text{CaO} - \text{MgO} - \text{FeO} - \text{Fe}_2\text{O}_3 - \text{Al}_2\text{O}_3 - \text{SiO}_2$. Следует еще учесть, что среди пород этой группы выделяются

достаточно четко два ряда – калиевый и натриевый. При этом, как указал А.Н.Заварницкий, породам калиевого ряда свойственна в общем повышенная магнезиальность. С учетом сказанного, для калиевого ряда приходим к пятикомпонентной системе $K_2O - CaO - MgO - Al_2O_3 - SiO_2$ и четырехкомпонентным системам: $K_2O - MgO - Al_2O_3 - SiO_2$, $K_2O - CaO - Al_2O_3 - SiO_2$, $K_2O - FeO - Al_2O_3 - SiO_2$. Для натриевого ряда существенны пятикомпонентные системы: $Na_2O - FeO - Fe_2O_3 - Al_2O_3 - SiO_2$, $Na_2O - CaO - MgO - Al_2O_3 - SiO_2$, и четырехкомпонентные: $Na_2O - Fe_2O_3 - Al_2O_3 - SiO_2$, $Na_2O - FeO - Al_2O_3 - SiO_2$. Наконец, калиево-натриевые составы (без оксидов железа) описываются модельной системой из шести компонентов: $K_2O - Na_2O - CaO - MgO - Al_2O_3 - SiO_2$.

Необходимо подчеркнуть, что все перечисленные выше системы далеко не в полном объеме одинаково существенны для моделирования магматических процессов. В каждой системе можно выделить определенную область, как правило, ограниченную составами породообразующих минералов, за пределы которой составы, моделирующие магматические процессы, обычно не выходят. Например, в системе $CaO - MgO - SiO_2$ важной для моделирования магматических процессов частью является треугольник форстерит – диопсид – кремнезем. Такие ограничения естественны и обусловлены спецификой состава исходного материала – мантийного вещества. Дополнительные ограничения накладываются на системы, содержащие щелочи Na_2O и K_2O . Установленная Д.С.Коржинским подвижность щелочей в магматических процессах приводит к фактическому снижению числа виртуальных компонентов, так что, например, в системе $Na_2O - K_2O - Al_2O_3 - SiO_2$ достаточным оказывается рассмотрение сечения, отвечающего «остаточной» системе нефелин – кальсилит – кремнезем. С учетом указанных ограничений рассмотрим некоторые из перечисленных систем.

В тексте и на диаграммах использованы следующие сокращения: Аб – альбит, Ан – аортит, Гед – геденбергит, Гем – гематит, Ди – диопсид, Кв – кристаллические фазы кремнезема, Ко – корунд, Кп – клинопироксены, Ле – лейцит, Ме – мелилит, Не – нефелин, Но – дисиликат натрия, Оп – ортопироксены, Ор – калиевый полевой шпат, Пи – пижонит, Пл – плагиоклазы, Фа – фаялит, Фо – форстерит, Шп – шпинель, Эг – эгирин, Эн – энстатит, 2х – две жидких фазы. Диаграммы систем приведены с некоторыми упрощениями.

Система $Na_2O - CaO - MgO - Al_2O_3 - SiO_2$. Эта пятикомпонентная система имеет очень большое значение для понимания процессов магматического петrogenезиса для пород как нормального, так и щелочного ряда. Прежде всего к этой системе принадлежит «базальтовый тетраэдр» Аб-Ан-Ди-Фо [3], в первом приближении моделирующий процессы кристаллизации базальтоидных расплавов. Проекции abS и cbs' основного элемента этого тетраэдра – котектической линии Пл+Ди+Фо приведены на рис. I в схематическом виде (в линейном приближении) вместе с проекциями краевых систем Ан-Ди-Фо и Аб-Ди-Фо. Проекции котектики $\ell_1 - \ell_2$ в общем близки к построенным А.Н.Заварницким проекциям котектики системы Аб-Ан-Ди; общее направление изменения состава такое же и оно соответствует обычному направлению

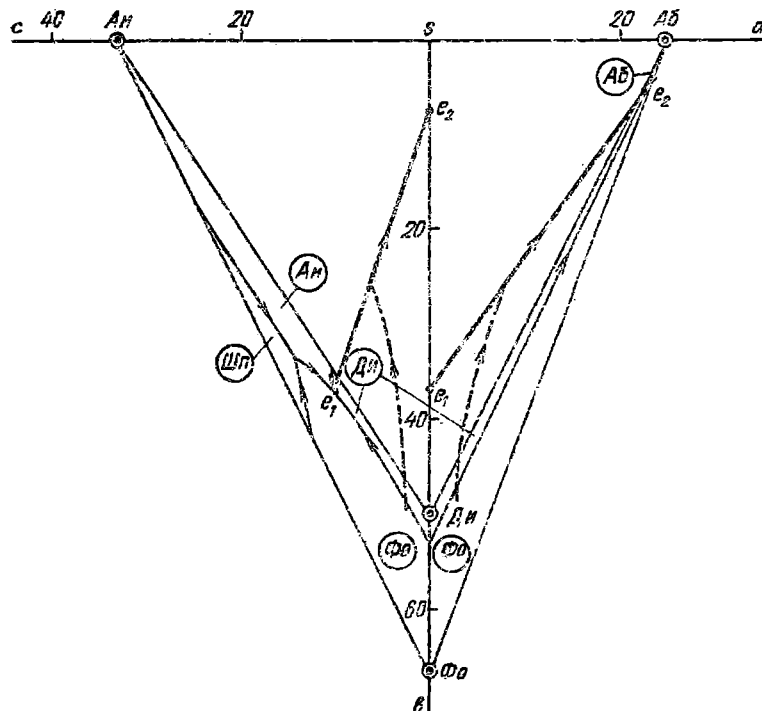


Рис.1. Система альбит - амортит - диодсид - форстертит

дифференциации расплавов в базальтовых формациях. Конечно, пути кристаллизации расплавов соответствуют этой контектической линии лишь на заключительных стадиях; начальные стадии кристаллизации могут отображаться линиями, занимавшими различное положение в зависимости от вариаций исходного состава, а также степени фракционирования. Одна из возможных линий изображена на рис. I пунктиром.

К процессам кристаллизации щелочных расплавов в первую очередь имеет отношение та часть системы $\text{Na}_2\text{O} - \text{CaO} - \text{MgO} - \text{Al}_2\text{O}_3 - \text{SiO}_2$, которая обогащена Na_2O и слагает фазовый тетраэдр Не-Ди-Ли-Кв. В целом этот тетраэдр недостаточно изучен, но имеются данные по его краевым тройным системам, из которых рассмотрим системы Не-Ли-Кв [14] и Не-Фо-Кв [15]. Проекция на плоскость $a'b'c'$ важнейших элементов системы Не-Ди-Кв показана на рис. 2 пунктирными линиями. Особенности данной системы – появление форстерита как первично выделяющейся фазы для ряда составов, примыкающих к стороне Не-Ли, а также особая форма поверхности кристаллизации альбита, склоняющаяся и на граничных кривых Аб-Не и Аб-Кв. Из двух инвариантных точек Ас+Не+ди и Ас+Кв+ди только первой соответствует минимум температуры, вторая же точка является реакционной благодаря проявлению в этой системе "плагиоклазового эффекта" Боузена. В целом же направление кристаллизации

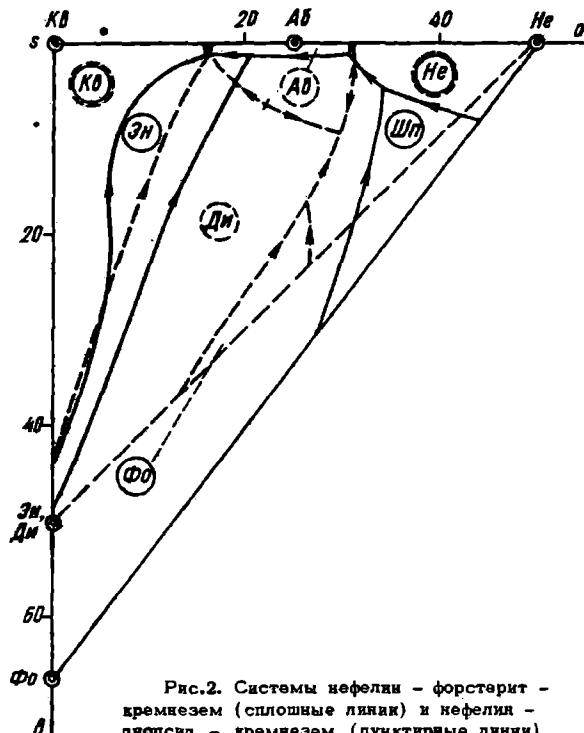


Рис.2. Системы нефелин - форстерит - кремнезем (сплошные линии) и нефелин - диопсид - кремнезем (пунктирные линии)

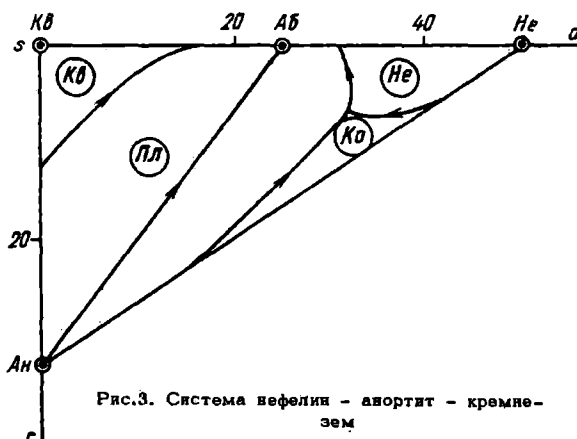


Рис.3. Система нефелин - аегирит - кремнезем

соответствующего началу совместной кристаллизации нефелина и плагиоклаза).

Система $\text{CaO} - \text{MgO} - \text{Fe} - \text{SiO}_2$. Ряд частных разрезов этой системы был рассмотрен и пересчитан на числовые характеристики еще А.Н.Заваричным. В четырехкомпонентной системе большой интерес представляет «ди-

аграмма» проекции иллюстрирует основную закономерность нормального хода кристаллизационной дифференциации: уменьшение в ходе кристаллизации параметра β и увеличение параметров a и s . Еще резче эта закономерность проявлена в системе Не-Фо-Кв (рис.2, сплошные линии). Наиболее низкотемпературная область, включаящая эвтектику Не+Аб+Фо и Аб+Кв+Эн и реакционную точку Аб+Фо+Эн, тесно прилегает к оси za диаграммы.

В системе $\text{Na}_2\text{O} - \text{CaO} - \text{Al}_2\text{O}_3 - \text{SiO}_2$, не содержащей MgO , наибольший интерес представляет разрез Не-Ан-Кв [13]. Поскольку в составах, соответствующих этому разрезу, CaO и Na_2O целиком связаны в алюмосиликатах, для них $\beta = 0$, но зато появляется параметр c . Проекция системы Не-Ан-Кв на плоскость acs показана на рис.3. Диаграмма иллюстрирует типичные изменения параметров числовой характеристики в ходе кристаллизации: уменьшение параметра s и возрастание параметра a (последнее в щелочных расплавах происходит до определенного момента, приблизительно

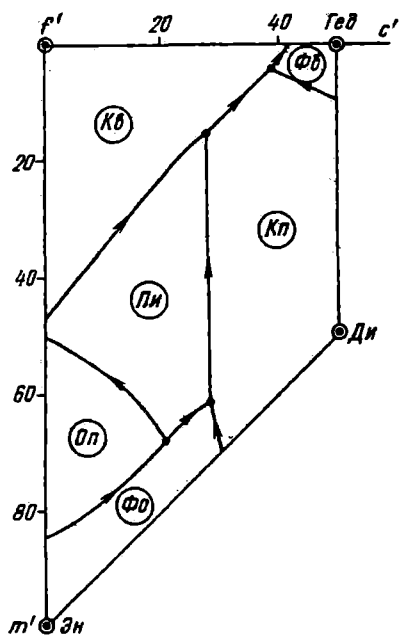


Рис.4. Система антатит – ферросиллит – диопсид – геденбергит

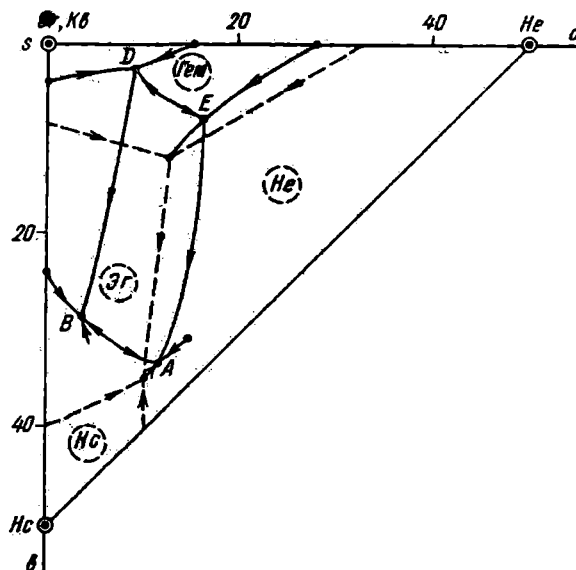


Рис.5. Система нефелин – ортоклаз – дисиликат натрия – калиевый кремнезем

роксеновый четырехугольник" $MgSiO_3 - FeSiO_3 - CaMgSi_2O_6 - CaFeSi_2O_6$ [9]. Все составы системы $CaO - MgO - FeO - SiO_2$ в тетраэдре Заварицкого располагаются на ребре $\bar{t}s$, составы же "широксенового четырехугольника" стягиваются в точку с $\beta = 50$, $\delta = 50$. Поэтому на первый план здесь выступают дополнительные характеристики f' , t' и c' , позволяющие наглядно представить эволюцию пироксенов при их кристаллизации (рис.4). Направление линий на диаграмме указывает на общий ход эволюции, характеризующийся в целом уменьшением t' и увеличением c' и f' .

Система $Na_2O - Al_2O_3 - Fe_2O_3 - SiO_2$. Эта система [7] по химизму и парagenезисам минеральных фаз занимает особое положение. Существенное петрологическое значение имеет в ней тетраэдр Эг-Не-Нс-Кв, который плоскостью Эг-Нс-Аб делится на два частных тетраэдра – Эг-Не-Аб-Нс и Эг-Не-Аб-Кв. Пути кристаллизации расплавов, составы которых попадают в указанные выше части системы, оканчиваются в эвтектических точках, в которых наряду с эгирином, альбитом и нефелином (или кварцем) должен кристаллизоваться дисиликат натрия $Na_2Si_2O_5$. Отсутствие силикатов щелочей среди продуктов магматической кристаллизации щелочных пород можно объяснить, как указывалось ранее [1], подвижность щелочей, потенциал которых не достигает значений, необходимых для формирования подобных минералов. Числовые характеристики составов данной системы отличаются появлением параметра \bar{c} вместо

а также тем, что параметр δ целиком обусловлен избыточным натрием.

На рис.5 представлена с известной схематичностью проекция abs моновариантных линий и инвариантных точек тетраэдра Не-Эг-Нс-Кв. Видна обратная направленность важнейших моновариантных линий, идущих от реакционных точек E и D (равновесия $Ab+Эг+Гем+Не$ и $Ab+Эг+Гем+Кв$) к четырехкомпонентным эвтектическим A и B (равновесия $Ab+Эг+Не+Нс$ и $Ab+Эг+Кв+Нс$). Обратная направленность (увеличение параметра δ с понижением температуры) связана, конечно, с особым характером параметра δ в данной системе и отвечает росту избыточного Na_2O в ходе кристаллизации; вместе с тем можно сопоставить эту обратную направленность с передкой обратной последовательностью идиоморфизма минералов ("агпайтовая структура") в щелочных породах, пересыщенных Na_2O . Такая же обратная направленность линий видна и в частном сечении Не-Эг-Нс, показанном на рис.5 пунктиром.

Система $Na_2O - CaO - MgO - Al_2O_3 - Fe_2O_3 - SiO_2$. В этой шестикомпонентной системе изучен разрез Не-Эг-Ди [16]. Проекция системы на

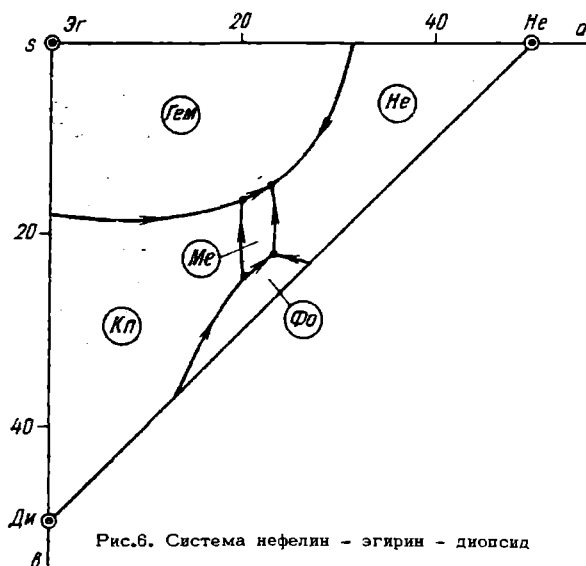


Рис.6. Система нефелин - эгирий - диопсид

плоскость abs (рис.7, сплошные линии) видно, что низкотемпературная область системы, включающая реакционные точки $Фо+Эн+Ле$ и $Ле+Эн+Ор$ и эвтектическую точку $Эн+Ор+Кв$, тесно примыкает к оси sa . Общая тенденция — быстрое уменьшение параметра δ в ходе кристаллизации, поведение же параметра α более сложно и различно для насыщенных и ненасыщенных кремнеземом расплавов. В целом особенности поведения расплавов в этой системе склонны с поведением расплавов в более простых системах — $Ле-Ан-Кв$ и $Ле-Ди-Кв$, которые были рассмотрены с этих позиций еще А.Н.Заваринским.

Система $K_2O - FeO - Al_2O_3 - SiO_2$. Сечение $Ле-Фа-Кв$ этой системы впервые изучено Е.Реддером [11]. Проекция abs этого сечения показана

плоскость abs показана на рис.6. Пути кристаллизации расплавов направлены к низкотемпературной области — окрестностям поля первичной кристаллизации мелилита. Точка минимума температуры, соответствующая равновесию $Не+Ме+Гем$, отвечает расплаву с параметрами $\alpha = 23$, $\bar{c} = 8$, $\delta = 15$, $s = 54$.

Система $K_2O - MgO - Al_2O_3 - SiO_2$.

Ряд разрезов этой системы изучен Дж.Шерером [12].

Наибольший интерес для наших целей представляет разрез $Ле-Фа-Кв$. На проекции

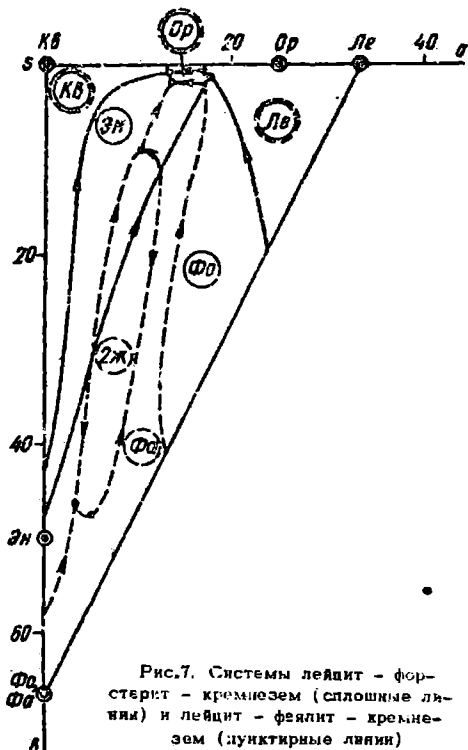


Рис.7. Системы лейцит - форстерит - кремнезем (сплошные линии) и лейцит - феялит - кремнезем (пунктирные линии)

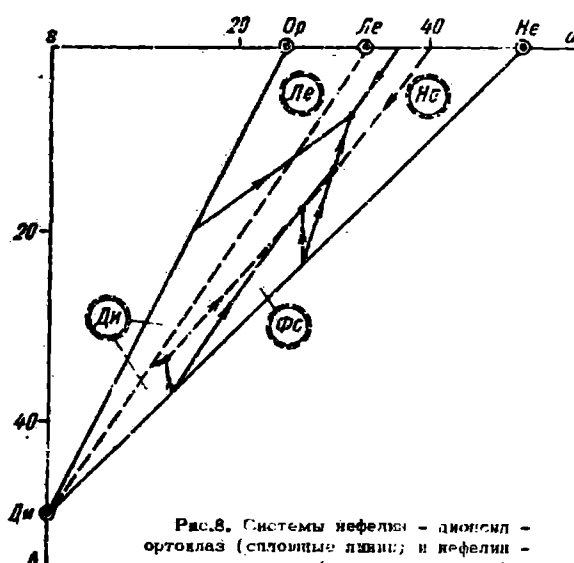


Рис.8. Системы нефелин - ортоклаз (сплошные линии) и кефалин - диопсид (пунктирные линии)

на рис.7 пунктиром линиями. От аналогичных диаграмм магнезиальных систем эта диаграмма отличается значительной по размерам областью ликвидации, разрывавшей котектику феялит - кремнезем. В области, относительно бедной FeO, направление линий сходно с таковыми в магнезиальных системах.

Система $K_2O-Na_2O-CaO-MgO-Al_2O_3-SiO_2$. Эта весьма сложная система исследована лишь в пределах немногих сечений, из которых здесь поместим сечения Не-Ди-Ор [10] и Не-Ди-Ле [6]. Эти сечения не являются тройными, и имеющиеся на проекциях на плоскость (рис.8) точки четырехфазных разновидностей все являются проходными. В сечении Не-Ди-Ор (рис.8, сплошные линии) минимальная температура отвечает точке Не+Ди+Ле, для которой $a = 32$, $b = 7$, $s = 61$.

В сечении Не-Ди-Ле (пунктирные линии) точка минимума температуры Не+Фс+Ле имеет параметры $a = 27$, $b = 17$, $s = 56$. В неканонических кремнеземом расплавах, принадлежащих этой системе, конечные точки путей кристаллизации, таким образом, не столь близки к оси as , как в системах, содержащих SiO_2 в качестве самостоятельного компонента, и кристаллизация богатых щелочами расплавов может сопровождаться возрастанием параметра b .

Таким образом, если в одотемах, составы которых соответствуют породам Бер-

мального ряда, направленность изменения параметров числовой характеристики в общем соглашается с нормальным ходом их эволюции, показанным А.Н. Заваринским, то в системах, пересыщенных щелочами, ход кристаллизации и дифференциации может быть существенно иным.

ЛИТЕРАТУРА

1. Доливо-Добровольский В.В. Система $\text{Na}_2\text{O}-\text{Al}_2\text{O}_3-\text{Fe}_2\text{O}_3-\text{SiO}_2$ и подвижность щелочей при магматических явлениях. - В кн.: Очерки физико-химической петрологии. М., Наука, 1969, т. 1, с. 45-53.
2. Заваринский А.Н. Введение в петрохимию изверженных горных пород. М., Изд-во АН СССР, 1950. 400 с.
3. Йодер Г.С., Тилли К.Э. Происхождение базальтовых магм. М., Мир, 1965. 248 с.
4. Петров Т.Г. Обоснование варианта общей классификации геохимических систем. Вестник ЛГУ, 1971, № 18, с. 30-38.
5. Петрография. М., Изд-во МГУ, 1981. Ч. 2. 328 с.
6. Соловьев С.П. Химизм магматических горных пород и некоторые вопросы петрохимии. Л., Наука, 1970. 312 с.
- Bailey D., Schairer J. - Journ. of Petrol., 1960, vol.7, N 1, p.114-170.
- Gupta A., Lidiak E. - Contrib. Miner. and Petrol., 1973, vol.41, N 3, p.231-239.
- Huebner J., Turgoski A. - Amer. Miner., 1980, vol.65, N 3-4, p.225-271.
- Platt R., Edgar A. - Journ. of Geol., 1972, vol.80, N 2, p.224-236.
- Roedder E. - Amer. Miner., 1951, vol.36, N 3-4, p.282-286.
- Schairer J. - Journ. of Amer. Ceram. Soc., 1954, vol.37, N 11, p.501-533.
- Schairer J. - Journ. of Amer. Ceram. Soc., 1957, vol.40, N 5, p.215-235.
- Schairer J., Yoder H. - Amer. Journ. of Sci., Bradley vol., 1960, vol.258A, p.273-283.
- Schairer J., Yoder H. - Carnegie Inst. Washington Yearbook, 1961, vol.60, p.141-144.
- Yagi K. - Carnegie Inst. Washington Yearbook, 1963, vol.62, p.89-97.